

Katowice, dn. 2024-03-13

T-Mobile Polska S.A.
ul. Marynarska 12
02-674 Warszawa

Pełnomocnik: Joanna Szmytka
Pełnomocnictwo numer: 159/01/21

z dnia: 2021-01-13

dane do korespondencji:
NetWorks Sp. z o.o.
ul. Józefa Piusa Dziekońskiego 3
00-728 Warszawa
tel. 506401236

Prezydent Miasta Rybnika
Urząd Miasta Rybnika
ul. Bolesława Chrobrego 2
44-200 Rybnik

Dotyczy: ustawowego obowiązku, wynikającego z art. 152 ust. 1 i ust. 7 w związku z ust. 6 pkt 1c ustawy z dnia 27 kwietnia 2001r – Prawo ochrony środowiska (Dz.U. 2024 poz. 54).

Działając z upoważnienia T-Mobile Polska S.A. z siedzibą ul. Marynarska 12, 02-674 Warszawa, **informuję o zmianie danych w zakresie wielkości i rodzaju emisji** dla instalacji radiokomunikacyjnej **50421 (35421N!)** KRY_RYBNIK_PODLASEM zlokalizowanej w miejscowości RYBNIK DZ.512/14. W stosunku do informacji zawartej w zgłoszeniu realizowanym dla tej instalacji w trybie art. 152 ust. 1 i 5 ustawy z dnia 27 kwietnia 2001r – Prawo ochrony środowiska (Dz.U. 2024 poz. 54), dane ulegają zmianie w następujący sposób:

9. Wielkość i rodzaj emisji²⁾:

Pole elektromagnetyczne. EIRP poszczególnych anten zostało podane w pkt 12, tj.

Lp.	Równoważna moc promieniowana izotropowo (EIRP) [W]
1.	17879
2.	11343
3.	28510
4.	17290
5.	11343
6.	16449
7.	11343
8.	5637/6310
9.	2631/6310
10.	3244/5624
11.	5012
12.	80
13.	1779

12. Szczegółowe dane, odpowiednio do rodzaju instalacji, zgodne z wymaganiami określonymi w załączniku nr 2 do Rozporządzenia:

Lp.	1)	2)	3)	4)	5)	
	Współrzędne geograficzne	Częstotliwość lub zakresy częstotliwości pracy instalacji [MHz]	Wysokość środka elektrycznego anteny [m n.p.t]	Równoważna moc promieniowana izotropowo (EIRP) [W]	Azymut [°]	Kąt pochylenia lub zakresy kątów pochylenia [°]
1.	18°28'45.1" 50°4'53"	900/1800/2100	40.3	17879	0	-2-10/-1-11/-1-11
2.	18°28'45.1" 50°4'53"	800/2600	40.3	11343	0	0-12/-2-10
3.	18°28'45.1" 50°4'53"	3600	40.3	28510	0	0-12
4.	18°28'45.3" 50°4'52.8"	900/1800/2100	40.3	17290	90	-2-10/-2-10/-2-10
5.	18°28'45.3" 50°4'52.9"	800/2600	40.3	11343	90	5.5/-2-10
6.	18°28'45" 50°4'52.8"	900/1800/2100	40.3	16449	250	-2-10/-2-10/-2-10
7.	18°28'45" 50°4'52.8"	800/2600	40.3	11343	250	4.5/-2-10
8.	18°28'45" 50°4'52.9"	23000/80000	40.6	5637/6310	255*	nd.
9.	18°28'45" 50°4'53"	38000/80000	40.5	2631/6310	310*	nd.
10.	18°28'45" 50°4'53"	18000/80000	41.2	3244/5624	324*	nd.
11.	18°28'45" 50°4'53"	80000	39.8	5012	330*	nd.
12.	18°28'45" 50°4'52.9"	32000	40	80	342*	nd.
13.	18°28'45.2" 50°4'52.9"	80000	40.5	1779	351*	nd.

*) tolerancja azymutu od -10° do +10°.

Informuję, iż dokonane zmiany w zakresie wielkości i rodzaju emisji przedmiotowej instalacji nie powodują zmiany instalacji w sposób istotny zgodnie z art. 3 pkt 7 ustawy Poś.

W załączniku przesyłam:

1. Pełnomocnictwo
2. Kopia potwierdzenia wniesienia opłaty skarbowej.
3. Sprawozdanie z pomiarów pól elektromagnetycznych wykonanych dla celów ochrony środowiska.

Otrzymują:

1. a/a
2. adresat



Signed by /
Podpisano przez:

Joanna Szmytka

Date / Data:
2024-03-13
22:33



NetWorks Sp. z o.o.
Laboratorium Badań Środowiskowych
ul. Józefa Piusa Dziekońskiego 3
00-728 Warszawa
e-mail: Laboratorium@networks.pl



AB 419

S P R A W O Z D A N I E 10590/2023/OS
Z POMIARÓW PÓL ELEKTROMAGNETYCZNYCH
WYKONANYCH DLA POTRZEB OCHRONY ŚRODOWISKA

Badany obiekt: Instalacja radiokomunikacyjna T-Mobile Polska S.A.

Numer i nazwa: 50421 (35421N!) KRY_RYBNIK_PODLASEM

Adres: RYBNIK DZ.512/14, Powiat m. Rybnik, WOJ. ŚLĄSKIE

Data wykonania pomiarów: 2024-03-12

Sprawozdanie z badań bez pisemnej zgody laboratorium nie może być powielane inaczej niż w całości.
Wynik przedstawione w niniejszym sprawozdaniu odnoszą się wyłącznie do badanego obiektu i do warunków i konfiguracji urządzeń w dniu wykonywania pomiarów.

1. Właściciel badanego obiektu:

T-Mobile Polska S.A., ul. Marynarska 12, 02-674 Warszawa

2. Zleceniodawca:

T-Mobile Polska S.A., ul. Marynarska 12, 02-674 Warszawa

3. Przedstawiciel zleceniodawcy:

NetWorks Sp. z o.o.

4. Zakres zlecenia:

Wykonanie badania i opracowanie sprawozdania z pomiarów natężenia pola elektrycznego i pola magnetycznego dla instalacji radiokomunikacyjnej T-Mobile Polska S.A. zlokalizowanej w miejscowości RYBNIK DZ.512/14.

5. Cel zlecenia:

Wykonanie pomiarów pól elektromagnetycznych w otoczeniu instalacji radiokomunikacyjnej 50421 (35421N!) KRY_RYBNIK_PODLASEM w odniesieniu do wymagań określonych w Rozporządzeniu Ministra Klimatu z dnia 17 lutego 2020 r. w sprawie sposobów sprawdzania dotrzymania dopuszczalnych poziomów pól elektromagnetycznych w środowisku (Dz.U. 2022 poz. 2630).

6. Pomiary zostały wykonane przez:

Gucwa Mateusz
Surzyn Dawid

7. Informacje o źródłach pól elektromagnetycznych

7.1. Sposób identyfikacji badanych źródeł pól elektromagnetycznych

Identyfikacji źródeł i parametrów technicznych dokonano na podstawie analizy dokumentacji dotyczącej zlecenia oraz obserwacji miejsca wykonywania badań.

7.2. Opis miejsca zainstalowania anten i urządzeń technicznych. Opis obiektu badań i jego otoczenia

Instalacja radiokomunikacyjna zlokalizowana jest na terenie ogrodzonym. Anteny zawieszono na wieży kratowej. Urządzenia sterujące oraz zasilające zainstalowano w kontenerze u podstawy wieży. Wokół instalacji znajdują się tereny zielone, restauracja, wodociągi, lasy.

Instalacja radiokomunikacyjna jest obiektem bezobsługowym. Okresowe stanowiska pracy związane są z prowadzonymi w zależności od potrzeb konserwacjami, przeglądami, strojeniem i naprawami.

Sprawozdanie z badań bez pisemnej zgody laboratorium nie może być powielane inaczej niż w całości.
Wynik przedstawione w niniejszym sprawozdaniu odnoszą się wyłącznie do badanego obiektu i do warunków i konfiguracji urządzeń w dniu wykonywania pomiarów.

7.3. Parametry techniczne źródła pola elektromagnetycznego

Dane przedstawiające maksymalne parametry pracy instalacji przekazane przez zleceniodawcę:

Parametry systemu nadawczo-odbiorczego:

Charakterystyka promieniowania		kierunkowa					
Rzeczywisty czas pracy [h/dobę]		24					
Warunki pracy		znamionowe					
Rodzaj wytwarzanego pola		stacjonarne					
Lp.	Częstotliwość lub zakresy częstotliwości pracy [MHz]	Typ/producent anteny	liczba anten	Azymut [°]	kąt pochylenia [°]	Wysokość środka elektrycznego anteny [m n.p.t.]	Równoważna moc promieniowana izotropowo (EIRP) [W]
1	900/1800/2100	ATR4518R11v06 Huawei	1	0	-2-10**/-1-11**/-1-11**	40.3	17879
2	800/2600	ATR4518R11v06 Huawei	1	0	0-12**/-2-10**	40.3	11343
3	3600	AAU5349 Huawei	1	0	0-12**	40.3	28510
4	900/1800/2100	ATR4518R11v06 Huawei	1	90	-2-10**/-2-10**/-2-10**	40.3	17290
5	800/2600	ATR4518R11v06 Huawei	1	90	5.5*/-2-10**	40.3	11343
6	900/1800/2100	ATR4518R11v06 Huawei	1	250	-2-10**/-2-10**/-2-10**	40.3	16449
7	800/2600	ATR4518R11v06 Huawei	1	250	4.5*/-2-10**	40.3	11343

* wskazane wartości kąta pochylenia anten, zgodnie z informacją uzyskaną od zleceniodawcy, są wartościami stałymi

** pomiary wykonano zgodnie z pkt 13., ppkt 2 załącznika do Rozporządzenia Ministra Klimatu z dnia 17 lutego 2020 r. (Dz. U. 2022, poz. 2630).

Parametry radiolinii:

Charakterystyka promieniowania				kierunkowa			
Rzeczywisty czas pracy [h/dobę]				24			
Warunki pracy				znamionowe			
Rodzaj wytwarzanego pola				stacjonarne			
Lp.	Linia radiowa			Antena			
	Typ/ Producent	Częstotliwość pracy [GHz]	Równoważna moc promieniowana izotropowo (EIRP) [W]	Typ/ producent	Średnica anteny [m]	Azymut [°]	Wysokość zainstalowania n.p.t [m]
1.	RTN XMC-5D 23G 28MHz XPIC/ RTN 380AX DC 70/80GHz 250MHz Huawei	23/80	5637/6310	A23D80S06 Huawei	0.6	255	40.6
2.	RTN XMC-3 38G 28MHz/ RTN 380AX DC 70/80GHz 250MHz Huawei	38/80	2631/6310	A38S80S06 Huawei	0.6	310	40.5
3.	RTN XMC-5D 18G 28MHz XPIC/ RTN 380AX 70/80GHz 250MHz Huawei	18/80	3244/5624	A18D80S06 Huawei	0.6	324	41.2
4.	RTN 380AX DC 70/80GHz 250MHz Huawei	80	5012	A80D06 Huawei	0.6	330	39.8
5.	NEC iPasolink 100E Harris Stratex	32	80	VHLP1-32 Andrew	0.3	342	40

Sprawozdanie z badań bez pisemnej zgody laboratorium nie może być powielane inaczej niż w całości.

Wynik przedstawione w niniejszym sprawozdaniu odnoszą się wyłącznie do badanego obiektu i do warunków i konfiguracji urządzeń w dniu wykonywania pomiarów.

Charakterystyka promieniowania				kierunkowa			
Rzeczywisty czas pracy [h/dobę]				24			
Warunki pracy				znamionowe			
Rodzaj wytwarzanego pola				stacjonarne			
Lp.	Linia radiowa			Antena			
	Typ/ Producent	Częstotliwość pracy [GHz]	Równoważna moc promieniowana izotropowo (EIRP) [W]	Typ/ producent	Średnica anteny [m]	Azymut [°]	Wysokość zainstalowania n.p.t [m]
6.	RTN 380AX DC 70/80GHz 250MHz Huawei	80	1779	A80D03 Huawei	0.3	351	40.5

7.4 Inne źródła pól elektromagnetycznych

Na podstawie informacji otrzymanych od użytkownika oraz obserwacji otoczenia miejsca wykonywania pomiarów nie stwierdzono występowania innych źródeł pola-EM

8. Opis pomiarów

8.1. Metoda badań

Zgodna z rozporządzeniem Ministra Klimatu z dnia 17 lutego 2020 r. w sprawie sposobów sprawdzania dotrzymania dopuszczalnych poziomów pól elektromagnetycznych w środowisku (Dz.U. 2022 poz. 2630), określona w pkt 25 ppkt 1 załącznika do niniejszego rozporządzenia.

8.2. Termin pomiarów i warunki środowiskowe

Podczas wykonywania pomiarów pól elektromagnetycznych nie występowały opady atmosferyczne. Wyniki pomiaru parametrów pogodowych przedstawia poniższa tabela:

Data [rrrr-mm-dd]	Godzina [hh:mm-hh:mm]	Warunki środowiskowe			
		Temperatura [°C]		Wilgotność względna [%]	
2024-03-12	06:15-07:45	Przed pomiarem	Po pomiarach	Przed pomiarem	Po pomiarach
		7.1	7.3	70.3	71.5

Przedstawione wyżej warunki środowiskowe, występujące podczas wykonywania pomiarów pól elektromagnetycznych, są zgodne ze specyfikacją techniczną użytego zestawu pomiarowego.

8.3. Warunki pracy urządzeń nadawczych

Podczas pomiarów w przypadku uzyskania wyniku pomiaru szerokopasmowego wykonanego zastosowaną metodą, dla zakresów częstotliwości od 10 MHz do 300 GHz, powiększonego o rozszerzoną niepewność pomiaru U dla współczynnika rozszerzenia $k = 2$ przekraczającego 70% najniższej dopuszczalnej wartości składowej elektrycznej lub magnetycznej pola dla objętych pomiarami zakresów częstotliwości, uwzględnia się poprawki pomiarowe przekazane przez zleceniodawcę, umożliwiające uwzględnienie maksymalnych parametrów pracy instalacji zgodnie z pkt 7 załącznika do Rozporządzenia Ministra Klimatu z dnia 17 lutego 2020 r. w sprawie sposobów sprawdzania dotrzymania dopuszczalnych poziomów pól elektromagnetycznych w środowisku (Dz. U. 2022, poz. 2630) zaznaczając, że wymagane jest wykonanie pomiaru z wykorzystaniem miernika selektywnego. W przypadku uzyskania wyniku pomiaru szerokopasmowego wykonanego zastosowaną metodą, dla zakresów częstotliwości od 10 MHz do 300 GHz, powiększonego o rozszerzoną niepewność pomiaru U dla współczynnika rozszerzenia $k = 2$ nieprzekraczającego 70% najniższej dopuszczalnej wartości składowej elektrycznej lub magnetycznej pola dla objętych pomiarami zakresów częstotliwości, nie uwzględnia się poprawek pomiarowych.

Sprawozdanie z badań bez pisemnej zgody laboratorium nie może być powielane inaczej niż w całości.
Wynik przedstawione w niniejszym sprawozdaniu odnoszą się wyłącznie do badanego obiektu i do warunków i konfiguracji urządzeń w dniu wykonywania pomiarów.

8.4. Wyposażenie pomiarowe

Zestaw pomiarowy służący do pomiaru natężenia składowej elektrycznej pola elektromagnetycznego złożony z szerokopasmowego miernika i sondy pomiarowej:

Oznaczenie miernika	Producent	Model	Numer fabryczny	Oznaczenie sondy	Producent	Model	Numer fabryczny
M-06	Narda Safety Test Solution	Miernik pól elektromagnetycznych NBM-550	F-0208	S-05	Narda Safety Test Solution	Sonda EF6092	A-0055

Mierniki natężenia pola elektromagnetycznego podlegają okresowemu sprawdzeniu zgodnie z procedurą wewnętrzną P-03 i PB-01. Świadectwo wzorcowania zestawu pomiarowego z dnia 27 lutego 2024 o numerze LWiMP/W/057/24 wydane przez Politechnika Wrocławską.

Data ważności świadectwa wzorcowania: 27 lutego 2026 (zgodnie z procedurą wewnętrzną P-03).

Oznaczenie miernika	Producent	Model	Numer fabryczny	Oznaczenie sondy	Producent	Model	Numer fabryczny
M-06	Narda Safety Test Solution	Miernik pól elektromagnetycznych NBM-550	F-0208	S-25	Narda Safety Test Solution	Sonda pomiarowa Narda EF0391	D-1518

Mierniki natężenia pola elektromagnetycznego podlegają okresowemu sprawdzeniu zgodnie z procedurą wewnętrzną P-03 i PB-01. Świadectwo wzorcowania zestawu pomiarowego z dnia 27 lutego 2024 o numerze LWiMP/W/057/24 wydane przez Politechnika Wrocławską.

Data ważności świadectwa wzorcowania: 27 lutego 2026 (zgodnie z procedurą wewnętrzną P-03).

Termohigrometr:

Oznaczenie:	TH-17	Producent:	AZ INSTRUMENT CORP	Model:	Termohigrometr AZ8706
-------------	-------	------------	--------------------	--------	-----------------------

Data ważności świadectwa wzorcowania: 19 maja 2024 (zgodnie z procedurą wewnętrzną P-03).

Dalmierz:

Oznaczenie	Producent	Typ	Numer seryjny	Nr świadectwa wzorcowania	Data świadectwa wzorcowania
D-12	Leica	Dalmierz Leica Disto D510	1050632837	4665.2-M11-4180-1748/15	27 listopada 2015

Data ważności świadectwa wzorcowania: 27 listopada 2025 (zgodnie z procedurą wewnętrzną P-03).

Odbiornik GNSS:

Oznaczenie	Producent	Model	Numer fabryczny
G-03	Stonex	S7-G GIS	S7G4123010001

Odbiorniki podlegają okresowemu sprawdzeniu zgodnie z procedurą wewnętrzną P-03.

9. Wyniki pomiarów

Pole elektryczne

Nr pionu	Opis umiejscowienia pionu (punktu) pomiarowego	Wysokość pomiaru [m]	Zmierzona wartość natężenia pola elektrycznego E [V/m] ^{1,5}			Wartość natężenia pola elektrycznego powiększona o niepewność pomiaru ⁴ E [V/m]	Wskaźnikowa wartość poziomu emisji pól elektromagnetycznych WMe ³	Współrzędne geograficzne pionu (punktu) pomiarowego ²
			Sonda S-05	Sonda S-25	SUMA			
1	GKP w odległości 8m od anteny sektorowej az. 90°	0.3-2.0	<1.0*	<1.0*	<1.0*	1.4	0.05	50°4'52.7" 18°28'45.5"
2	GKP w odległości 30m od anteny sektorowej az. 90°	0.3-2.0	<1.0*	<1.0*	<1.0*	1.4	0.05	50°4'52.7" 18°28'46.9"
3	GKP w odległości 52m od anteny	0.3-2.0	<1.0*	<1.0*	<1.0*	1.4	0.05	50°4'52.7" 18°28'48.0"

Sprawozdanie z badań bez pisemnej zgody laboratorium nie może być powielane inaczej niż w całości.

Wynik przedstawione w niniejszym sprawozdaniu odnoszą się wyłącznie do badanego obiektu i do warunków i konfiguracji urządzeń w dniu wykonywania pomiarów.

	sektorowej az. 90°							
4	GKP w odległości 74m od anteny sektorowej az. 90°	0.3-2.0	<1.0*	<1.0*	<1.0*	1.4	0.05	50°4'52.7" 18°28'49.1"
5	GKP w odległości 96m od anteny sektorowej az. 90°	0.3-2.0	<1.0*	<1.0*	<1.0*	1.4	0.05	50°4'52.7" 18°28'50.5"
6	GKP w odległości 8m od anteny sektorowej az. 0°	0.3-2.0	<1.0*	<1.0*	<1.0*	1.4	0.05	50°4'53.4" 18°28'45.1"
7	GKP w odległości 32m od anteny sektorowej az. 0°	0.3-2.0	<1.0*	<1.0*	<1.0*	1.4	0.05	50°4'54.1" 18°28'45.1"
8	GKP w odległości 56m od anteny sektorowej az. 0°	0.3-2.0	<1.0*	<1.0*	<1.0*	1.4	0.05	50°4'54.8" 18°28'45.1"
9	GKP w odległości 80m od anteny sektorowej az. 0°	0.3-2.0	<1.0*	<1.0*	<1.0*	1.4	0.05	50°4'55.6" 18°28'45.1"
10	GKP w odległości 104m od anteny sektorowej az. 0°	0.3-2.0	<1.0*	<1.0*	<1.0*	1.4	0.05	50°4'56.3" 18°28'45.1"
11	GKP w odległości 8m od anteny radioliniowej az. 351°	0.3-2.0	<1.0*	<1.0*	<1.0*	1.4	0.05	50°4'53.0" 18°28'45.1"
12	GKP w odległości 32m od anteny radioliniowej az. 351°	0.3-2.0	<1.0*	<1.0*	<1.0*	1.4	0.05	50°4'54.1" 18°28'45.1"
13	GKP w odległości 56m od anteny radioliniowej az. 351°	0.3-2.0	<1.0*	<1.0*	<1.0*	1.4	0.05	50°4'54.8" 18°28'44.8"
14	GKP w odległości 8m od anteny radioliniowej az. 342°	0.3-2.0	<1.0*	<1.0*	<1.0*	1.4	0.05	50°4'53.0" 18°28'44.8"
15	GKP w odległości 32m od anteny radioliniowej az. 342°	0.3-2.0	<1.0*	<1.0*	<1.0*	1.4	0.05	50°4'53.8" 18°28'44.4"
16	GKP w odległości 56m od anteny radioliniowej az. 342°	0.3-2.0	<1.0*	<1.0*	<1.0*	1.4	0.05	50°4'54.5" 18°28'44.0"
17	GKP w odległości 8m od anteny radioliniowej az. 330°	0.3-2.0	<1.0*	<1.0*	<1.0*	1.4	0.05	50°4'53.0" 18°28'44.8"
18	GKP w odległości 32m od anteny radioliniowej az. 330°	0.3-2.0	<1.0*	<1.0*	<1.0*	1.4	0.05	50°4'53.8" 18°28'44.0"
19	GKP w odległości 56m od anteny radioliniowej az. 330°	0.3-2.0	<1.0*	<1.0*	<1.0*	1.4	0.05	50°4'54.5" 18°28'43.7"
20	GKP w odległości 8m od anteny radioliniowej az. 324°	0.3-2.0	<1.0*	<1.0*	<1.0*	1.4	0.05	50°4'53.0" 18°28'44.8"
21	GKP w odległości 32m od anteny radioliniowej az. 324°	0.3-2.0	<1.0*	<1.0*	<1.0*	1.4	0.05	50°4'53.8" 18°28'44.0"
22	GKP w odległości 56m od anteny radioliniowej az. 324°	0.3-2.0	<1.0*	<1.0*	<1.0*	1.4	0.05	50°4'54.5" 18°28'43.3"
23	GKP w odległości 8m od anteny radioliniowej az. 310°	0.3-2.0	<1.0*	<1.0*	<1.0*	1.4	0.05	50°4'53.0" 18°28'44.8"

Sprawozdanie z badań bez pisemnej zgody laboratorium nie może być powielane inaczej niż w całości.
Wynik przedstawione w niniejszym sprawozdaniu odnoszą się wyłącznie do badanego obiektu i do warunków i konfiguracji urządzeń w dniu wykonywania pomiarów.

24	GKP w odległości 32m od anteny radioliniowej az. 310°	0.3-2.0	<1.0*	<1.0*	<1.0*	1.4	0.05	50°4'53.8" 18°28'43.7"
25	GKP w odległości 56m od anteny radioliniowej az. 310°	0.3-2.0	<1.0*	<1.0*	<1.0*	1.4	0.05	50°4'54.1" 18°28'43.0"
26	GKP w odległości 11m od anteny radioliniowej az. 255°	0.3-2.0	<1.0*	<1.0*	<1.0*	1.4	0.05	50°4'52.7" 18°28'44.4"
27	GKP w odległości 22m od anteny radioliniowej az. 255°	0.3-2.0	<1.0*	<1.0*	<1.0*	1.4	0.05	50°4'52.7" 18°28'44.0"
28	GKP w odległości 60m od anteny radioliniowej az. 255°	0.3-2.0	<1.0*	<1.0*	<1.0*	1.4	0.05	50°4'52.3" 18°28'42.2"
29	GKP w odległości 25m od anteny sektorowej az. 250°	0.3-2.0	<1.0*	<1.0*	<1.0*	1.4	0.05	50°4'52.7" 18°28'43.7"
30	GKP w odległości 11m od anteny sektorowej az. 250°	0.3-2.0	<1.0*	<1.0*	<1.0*	1.4	0.05	50°4'52.7" 18°28'44.4"
31	GKP w odległości 62m od anteny sektorowej az. 250°	0.3-2.0	<1.0*	<1.0*	<1.0*	1.4	0.05	50°4'52.3" 18°28'42.2"
32	GKP w odległości 113m od anteny sektorowej az. 250°	0.3-2.0	<1.0*	<1.0*	<1.0*	1.4	0.05	50°4'51.6" 18°28'39.7"
-	GKP w odległości 284m od anteny sektorowej az. 0°	0.3-2.0	<1.0*	<1.0*	<1.0*	1.4	0.05	50°5'2.0" 18°28'45.1"
-	GKP w odległości 360m od anteny sektorowej az. 90°	0.3-2.0	<1.0*	<1.0*	<1.0*	1.4	0.05	50°4'52.7" 18°29'3.5"
-	GKP w odległości 335m od anteny sektorowej az. 250°	0.3-2.0	<1.0*	<1.0*	<1.0*	1.4	0.05	50°4'49.1" 18°28'29.3"
36	PKP na az. 112° w odległości 47m od anteny sektorowej az. 90°, narożnik budynku	0.3-2.0	<1.0*	<1.0*	<1.0*	1.4	0.05	50°4'52.3" 18°28'47.3"
37	PKP na az. 46° w odległości 41m od anteny sektorowej az. 0°	0.3-2.0	<1.0*	<1.0*	<1.0*	1.4	0.05	50°4'53.8" 18°28'46.6"
38	PKP na az. 30° w odległości 33m od anteny sektorowej az. 0°	0.3-2.0	<1.0*	<1.0*	<1.0*	1.4	0.05	50°4'53.8" 18°28'45.8"
39	PKP na az. 15° w odległości 45m od anteny sektorowej az. 0°	0.3-2.0	<1.0*	<1.0*	<1.0*	1.4	0.05	50°4'54.5" 18°28'45.8"
40	PKP na az. 314° w odległości 44m od anteny sektorowej az. 0°	0.3-2.0	<1.0*	<1.0*	<1.0*	1.4	0.05	50°4'54.1" 18°28'43.3"
41	PKP na az. 345° w odległości 47m od anteny sektorowej az. 0°	0.3-2.0	<1.0*	<1.0*	<1.0*	1.4	0.05	50°4'54.5" 18°28'44.4"
42	PKP na az. 330° w odległości 45m od anteny sektorowej az. 0°	0.3-2.0	<1.0*	<1.0*	<1.0*	1.4	0.05	50°4'54.1" 18°28'44.0"

Sprawozdanie z badań bez pisemnej zgody laboratorium nie może być powielane inaczej niż w całości.
Wynik przedstawione w niniejszym sprawozdaniu odnoszą się wyłącznie do badanego obiektu i do warunków i konfiguracji urządzeń w dniu wykonywania pomiarów.

43	PKP na az. 152° w odległości 26m od anteny sektorowej az. 90°	0.3-2.0	<1.0*	<1.0*	<1.0*	1.4	0.05	50°4'52.0" 18°28'45.8"
44	PKP na az. 221° w odległości 33m od anteny sektorowej az. 90°	0.3-2.0	<1.0*	<1.0*	<1.0*	1.4	0.05	50°4'52.0" 18°28'44.0"
45	PKP na az. 193° w odległości 50m od anteny sektorowej az. 90°, narożnik budynku	0.3-2.0	<1.0*	<1.0*	<1.0*	1.4	0.05	50°4'51.2" 18°28'44.8"

Pole magnetyczne (wyznaczone na podstawie pomiaru wartości natężenia pola elektrycznego)

Nr pion u	Opis umiejscowienia pionu (punktu) pomiarowego	Wysoko ść pomiaru [m]	Wartość natężenia pola magnetycznego H [A/m] ¹			Wartość natężenia pola magnetycznego powiększona o niepewność pomiaru ⁴ H [A/m]	Wskaźnik o wartość poziomu emisji pól elektromag netycznych WM _H ³	Współrzędne geograficzne pionu (punktu) pomiarowego ²
			Sonda S-05	Sonda S-25	SUMA			
1	GKP w odległości 8m od anteny sektorowej az. 90°	0.3-2.0	<0.003*	<0.003*	<0.003*	0.004	0.05	50°4'52.7" 18°28'45.5"
2	GKP w odległości 30m od anteny sektorowej az. 90°	0.3-2.0	<0.003*	<0.003*	<0.003*	0.004	0.05	50°4'52.7" 18°28'46.9"
3	GKP w odległości 52m od anteny sektorowej az. 90°	0.3-2.0	<0.003*	<0.003*	<0.003*	0.004	0.05	50°4'52.7" 18°28'48.0"
4	GKP w odległości 74m od anteny sektorowej az. 90°	0.3-2.0	<0.003*	<0.003*	<0.003*	0.004	0.05	50°4'52.7" 18°28'49.1"
5	GKP w odległości 96m od anteny sektorowej az. 90°	0.3-2.0	<0.003*	<0.003*	<0.003*	0.004	0.05	50°4'52.7" 18°28'50.5"
6	GKP w odległości 8m od anteny sektorowej az. 0°	0.3-2.0	<0.003*	<0.003*	<0.003*	0.004	0.05	50°4'53.4" 18°28'45.1"
7	GKP w odległości 32m od anteny sektorowej az. 0°	0.3-2.0	<0.003*	<0.003*	<0.003*	0.004	0.05	50°4'54.1" 18°28'45.1"
8	GKP w odległości 56m od anteny sektorowej az. 0°	0.3-2.0	<0.003*	<0.003*	<0.003*	0.004	0.05	50°4'54.8" 18°28'45.1"
9	GKP w odległości 80m od anteny sektorowej az. 0°	0.3-2.0	<0.003*	<0.003*	<0.003*	0.004	0.05	50°4'55.6" 18°28'45.1"
10	GKP w odległości 104m od anteny	0.3-2.0	<0.003*	<0.003*	<0.003*	0.004	0.05	50°4'56.3" 18°28'45.1"

Sprawozdanie z badań bez pisemnej zgody laboratorium nie może być powielane inaczej niż w całości.
Wynik przedstawione w niniejszym sprawozdaniu odnoszą się wyłącznie do badanego obiektu i do warunków i konfiguracji urządzeń w dniu wykonywania pomiarów.

	sektorowej az. 0°							
11	GKP w odległości 8m od anteny radioliniowej az. 351°	0.3-2.0	<0.003*	<0.003*	<0.003*	0.004	0.05	50°4'53.0" 18°28'45.1"
12	GKP w odległości 32m od anteny radioliniowej az. 351°	0.3-2.0	<0.003*	<0.003*	<0.003*	0.004	0.05	50°4'54.1" 18°28'45.1"
13	GKP w odległości 56m od anteny radioliniowej az. 351°	0.3-2.0	<0.003*	<0.003*	<0.003*	0.004	0.05	50°4'54.8" 18°28'44.8"
14	GKP w odległości 8m od anteny radioliniowej az. 342°	0.3-2.0	<0.003*	<0.003*	<0.003*	0.004	0.05	50°4'53.0" 18°28'44.8"
15	GKP w odległości 32m od anteny radioliniowej az. 342°	0.3-2.0	<0.003*	<0.003*	<0.003*	0.004	0.05	50°4'53.8" 18°28'44.4"
16	GKP w odległości 56m od anteny radioliniowej az. 342°	0.3-2.0	<0.003*	<0.003*	<0.003*	0.004	0.05	50°4'54.5" 18°28'44.0"
17	GKP w odległości 8m od anteny radioliniowej az. 330°	0.3-2.0	<0.003*	<0.003*	<0.003*	0.004	0.05	50°4'53.0" 18°28'44.8"
18	GKP w odległości 32m od anteny radioliniowej az. 330°	0.3-2.0	<0.003*	<0.003*	<0.003*	0.004	0.05	50°4'53.8" 18°28'44.0"
19	GKP w odległości 56m od anteny radioliniowej az. 330°	0.3-2.0	<0.003*	<0.003*	<0.003*	0.004	0.05	50°4'54.5" 18°28'43.7"
20	GKP w odległości 8m od anteny radioliniowej az. 324°	0.3-2.0	<0.003*	<0.003*	<0.003*	0.004	0.05	50°4'53.0" 18°28'44.8"
21	GKP w odległości 32m od anteny radioliniowej az. 324°	0.3-2.0	<0.003*	<0.003*	<0.003*	0.004	0.05	50°4'53.8" 18°28'44.0"
22	GKP w odległości 56m od anteny radioliniowej az. 324°	0.3-2.0	<0.003*	<0.003*	<0.003*	0.004	0.05	50°4'54.5" 18°28'43.3"
23	GKP w odległości 8m od anteny radioliniowej az. 310°	0.3-2.0	<0.003*	<0.003*	<0.003*	0.004	0.05	50°4'53.0" 18°28'44.8"
24	GKP w odległości 32m od anteny radioliniowej az. 310°	0.3-2.0	<0.003*	<0.003*	<0.003*	0.004	0.05	50°4'53.8" 18°28'43.7"
25	GKP w odległości 56m od anteny radioliniowej az. 310°	0.3-2.0	<0.003*	<0.003*	<0.003*	0.004	0.05	50°4'54.1" 18°28'43.0"

Sprawozdanie z badań bez pisemnej zgody laboratorium nie może być powielane inaczej niż w całości.
Wynik przedstawione w niniejszym sprawozdaniu odnoszą się wyłącznie do badanego obiektu i do warunków i konfiguracji urządzeń w dniu wykonywania pomiarów.

26	GKP w odległości 11m od anteny radioliniowej az. 255°	0.3-2.0	<0.003*	<0.003*	<0.003*	0.004	0.05	50°4'52.7" 18°28'44.4"
27	GKP w odległości 22m od anteny radioliniowej az. 255°	0.3-2.0	<0.003*	<0.003*	<0.003*	0.004	0.05	50°4'52.7" 18°28'44.0"
28	GKP w odległości 60m od anteny radioliniowej az. 255°	0.3-2.0	<0.003*	<0.003*	<0.003*	0.004	0.05	50°4'52.3" 18°28'42.2"
29	GKP w odległości 25m od anteny sektorowej az. 250°	0.3-2.0	<0.003*	<0.003*	<0.003*	0.004	0.05	50°4'52.7" 18°28'43.7"
30	GKP w odległości 11m od anteny sektorowej az. 250°	0.3-2.0	<0.003*	<0.003*	<0.003*	0.004	0.05	50°4'52.7" 18°28'44.4"
31	GKP w odległości 62m od anteny sektorowej az. 250°	0.3-2.0	<0.003*	<0.003*	<0.003*	0.004	0.05	50°4'52.3" 18°28'42.2"
32	GKP w odległości 113m od anteny sektorowej az. 250°	0.3-2.0	<0.003*	<0.003*	<0.003*	0.004	0.05	50°4'51.6" 18°28'39.7"
-	GKP w odległości 284m od anteny sektorowej az. 0°	0.3-2.0	<0.003*	<0.003*	<0.003*	0.004	0.05	50°5'2.0" 18°28'45.1"
-	GKP w odległości 360m od anteny sektorowej az. 90°	0.3-2.0	<0.003*	<0.003*	<0.003*	0.004	0.05	50°4'52.7" 18°29'3.5"
-	GKP w odległości 335m od anteny sektorowej az. 250°	0.3-2.0	<0.003*	<0.003*	<0.003*	0.004	0.05	50°4'49.1" 18°28'29.3"
36	PKP na az. 112° w odległości 47m od anteny sektorowej az. 90°, narożnik budynku	0.3-2.0	<0.003*	<0.003*	<0.003*	0.004	0.05	50°4'52.3" 18°28'47.3"
37	PKP na az. 46° w odległości 41m od anteny sektorowej az. 0°	0.3-2.0	<0.003*	<0.003*	<0.003*	0.004	0.05	50°4'53.8" 18°28'46.6"
38	PKP na az. 30° w odległości 33m od anteny sektorowej az. 0°	0.3-2.0	<0.003*	<0.003*	<0.003*	0.004	0.05	50°4'53.8" 18°28'45.8"
39	PKP na az. 15° w odległości 45m od anteny sektorowej az. 0°	0.3-2.0	<0.003*	<0.003*	<0.003*	0.004	0.05	50°4'54.5" 18°28'45.8"

Sprawozdanie z badań bez pisemnej zgody laboratorium nie może być powielane inaczej niż w całości.
Wynik przedstawione w niniejszym sprawozdaniu odnoszą się wyłącznie do badanego obiektu i do warunków i konfiguracji urządzeń w dniu wykonywania pomiarów.

40	PKP na az. 314° w odległości 44m od anteny sektorowej az. 0°	0.3-2.0	<0.003*	<0.003*	<0.003*	0.004	0.05	50°4'54.1" 18°28'43.3"
41	PKP na az. 345° w odległości 47m od anteny sektorowej az. 0°	0.3-2.0	<0.003*	<0.003*	<0.003*	0.004	0.05	50°4'54.5" 18°28'44.4"
42	PKP na az. 330° w odległości 45m od anteny sektorowej az. 0°	0.3-2.0	<0.003*	<0.003*	<0.003*	0.004	0.05	50°4'54.1" 18°28'44.0"
43	PKP na az. 152° w odległości 26m od anteny sektorowej az. 90°	0.3-2.0	<0.003*	<0.003*	<0.003*	0.004	0.05	50°4'52.0" 18°28'45.8"
44	PKP na az. 221° w odległości 33m od anteny sektorowej az. 90°	0.3-2.0	<0.003*	<0.003*	<0.003*	0.004	0.05	50°4'52.0" 18°28'44.0"
45	PKP na az. 193° w odległości 50m od anteny sektorowej az. 90°, narożnik budynku	0.3-2.0	<0.003*	<0.003*	<0.003*	0.004	0.05	50°4'51.2" 18°28'44.8"

GKP – Główny Kierunek Pomiarowy

PKP – Pomocniczy Kierunek Pomiarowy

¹ wyniki oznaczone * są wynikami poniżej czułości zestawu pomiarowego i są wynikami spoza zakresu akredytacji. Do obliczenia wyniku skorygowanego przyjęto wartość skorelowaną z rzeczywistym wynikiem pomiaru - dolną granicę akredytowanego zakresu pomiarowego metody

² współrzędne geograficzne pozyskane metodą pomiaru bezpośredniego

³ do wyznaczenia wartości wskaźnikowej WMe i WMH przyjęto na podstawie uzgodnień z klientem oraz rozpoznania źródeł, jako wartości dopuszczalne pola elektrycznego i magnetycznego odpowiednio 28 V/m i 0,073 A/m.

⁴ do wyznaczenia niepewności dla wyników poniżej czułości zestawu pomiarowego, przyjęto niepewność dla minimalnej wartości z zakresu pomiarowego.

⁵ maksymalna wartość chwilowa

Niepewność oszacowano zgodnie z dokumentem P-03 „Procedura nadzoru nad wyposażeniem” w postaci niepewności rozszerzonej wynikającej z niepewności standardowej pomnożonej przez współczynnik rozszerzenia k=2.

Całkowita szacowana niepewność rozszerzona składowej E wynosi odpowiednio:

sonda S-05: 36.2% dla częstotliwości do 4 GHz, sonda S-25: 45.4% dla częstotliwości do 4 GHz

Umieszczenie pionów (punktów) pomiarowych przedstawiono w załączniku nr 2 do niniejszego sprawozdania.

10. Omówienie wyników pomiarów

W związku z tym, że żadna z wartości zmierzonych, udokumentowanych w tabelach w pkt. 9, uzyskanych w skutek zastosowania pomiaru szerokopasmowego, powiększonego o rozszerzoną niepewność pomiaru U dla współczynnika rozszerzenia k = 2 nie przekroczyła 70% najniższej dopuszczalnej wartości składowej elektrycznej lub magnetycznej pola dla objętych pomiarami zakresów częstotliwości, nie uwzględnia się poprawek pomiarowych.

W wyniku zastosowania sposobu sprawdzenia dotrzymania dopuszczalnych poziomów pól elektromagnetycznych w środowisku, zgodnie pkt 25 ppkt 1 Rozporządzenia Ministra Klimatu z dnia 17 lutego 2020 r. (Dz. U. 2022, poz. 2630), w związku z tym, że żadna z wartości wskaźnikowych, udokumentowanych w tabelach w pkt. 9 nie przekracza wartości 1, stwierdza się, że w miejscach, w których wykonano pomiary w otoczeniu instalacji radiokomunikacyjnej 50421 (35421N!) KRY_RYBNIK_PODLASEM, dopuszczalne poziomy pole elektromagnetycznych w środowisku należy uznać za dotrzymane.

Sprawozdanie z badań bez pisemnej zgody laboratorium nie może być powielane inaczej niż w całości.

Wynik przedstawione w niniejszym sprawozdaniu odnoszą się wyłącznie do badanego obiektu i do warunków i konfiguracji urządzeń w dniu wykonywania pomiarów.

Miejsca niedostępne podczas wykonywania pomiarów wskazane zostały w pkt. 9 (Wyniki pomiarów) lub na załączniku przedstawiającym usytuowanie pionów pomiarowych.

11. Podstawa prawna

- 1) Ustawa z dnia 27 kwietnia 2001 r. Prawo ochrony środowiska (Dz.U. 2022 poz. 2556)
- 2) Rozporządzenie Ministra Zdrowia z dnia 17 grudnia 2019 r. w sprawie dopuszczalnych poziomów pól elektromagnetycznych w środowisku (Dz. U. 2019, poz. 2448)
- 3) Rozporządzenie Ministra Klimatu z dnia 17 lutego 2020 r. w sprawie sposobów sprawdzania dotrzymania dopuszczalnych poziomów pól elektromagnetycznych w środowisku (Dz. U. 2022, poz. 2630),
- 4) Akredytacja nr AB 419 wydana przez Polskie Centrum Akredytacji (wydanie 22, z dnia 9 stycznia 2024 r.)

12. Spis załączników

Załącznik 1. Lokalizacja obiektu badań
Załącznik 2. Usytuowanie pionów (punktów) pomiarowych
Załącznik 3. Dokumentacja fotograficzna obiektu badań

13. Data wydania i autoryzowania sprawozdania

Obliczenia i sprawozdanie wykonał :



Signed by /
Podpisano przez:

Barbara
Stelmaszyk

Date / Data:
2024-03-13 08:58

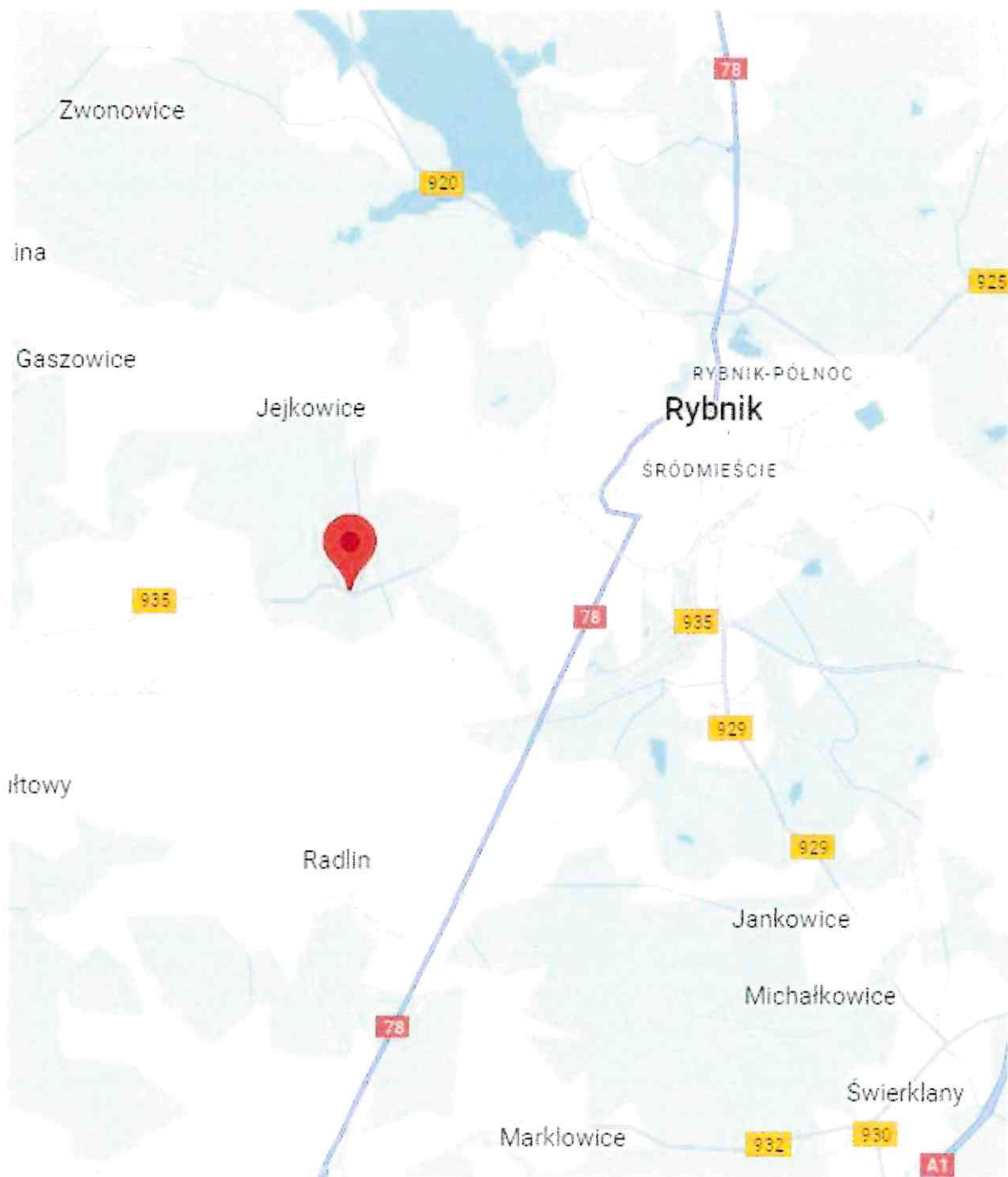
Sprawozdanie autoryzował:

**Tomasz
Zborowski**

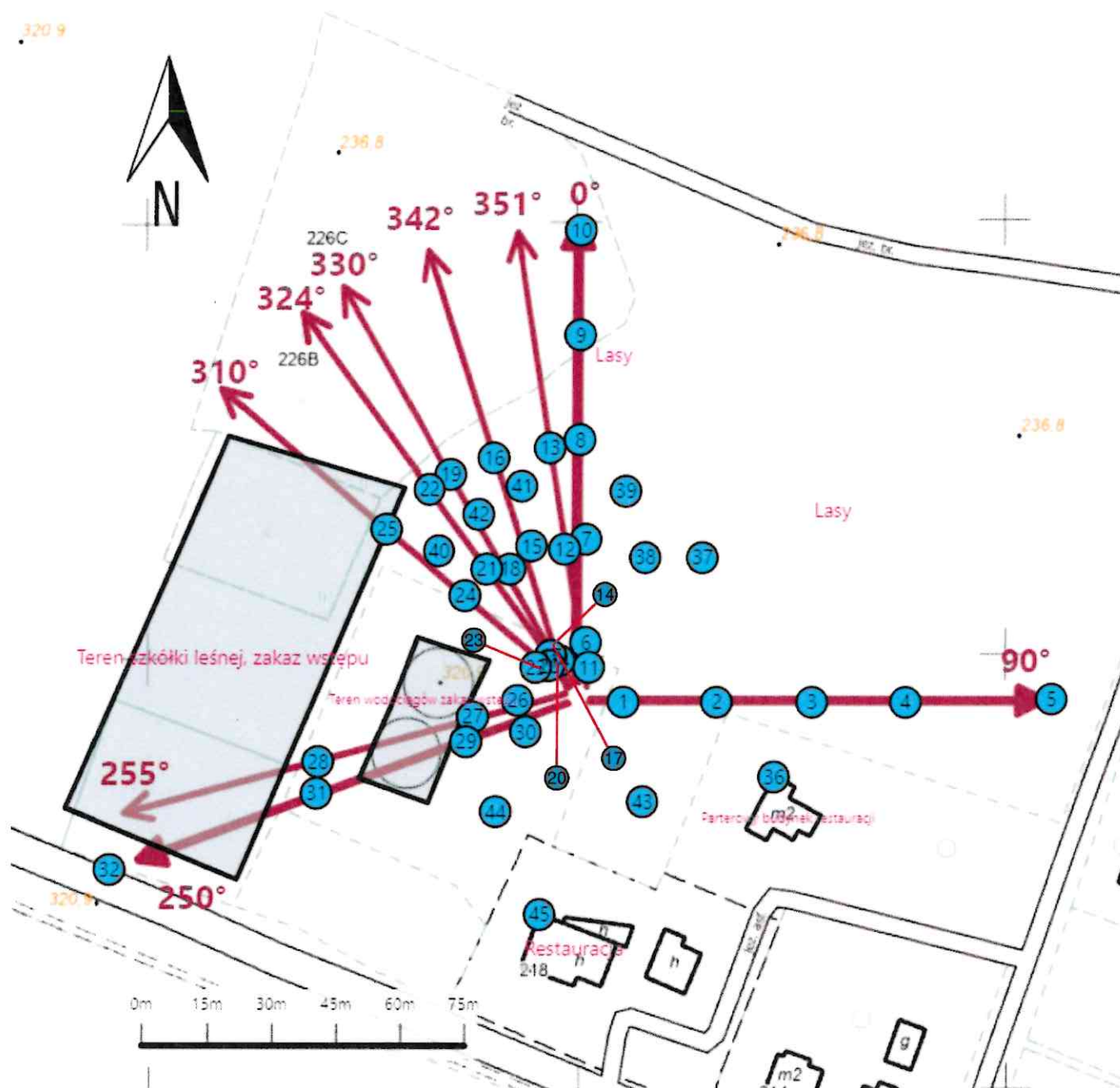
Elektronicznie
podpisany przez
Tomasz Zborowski
Data: 2024.03.13
22:06:21 +01'00'

Koniec sprawozdania

Sprawozdanie z badań bez pisemnej zgody laboratorium nie może być powielane inaczej niż w całości.
Wynik przedstawione w niniejszym sprawozdaniu odnoszą się wyłącznie do badanego obiektu i do warunków i konfiguracji urządzeń w dniu wykonywania pomiarów.



Załącznik nr 1	Instalacja radiokomunikacyjna T-Mobile Polska S.A. 50421 (35421N!) KRY_RYBNIK_PODLASEM Lokalizacja instalacji
----------------	---



Załącznik nr 2	<p>Instalacja radiokomunikacyjna T-Mobile Polska S.A. KRY_RYBNIK_PODLASEM (35421N!)</p> <p>Usytuowanie pionów pomiarowych w otoczeniu instalacji radiokomunikacyjnej</p>
	<p>Legenda:</p> <div style="display: flex; justify-content: space-around; align-items: center;"> <div style="text-align: center;">  Brak dostępu </div> <div style="text-align: center;">  Pion pomiarowy </div> <div style="text-align: center;">  Kierunek oddziaływania anten sektorowych </div> <div style="text-align: center;">  Kierunek oddziaływania anten radioliniowych </div> </div>



Załącznik nr 3	<p>Instalacja radiokomunikacyjna T-Mobile Polska S.A. 50421 (35421N!) KRY_RYBNIK_PODLASEM</p> <p>Dokumentacja fotograficzna</p>
----------------	---